



# Geodætiske Kurver

Steen Markvorsen, DTU Compute  
Technical University of Denmark

Georg Mohr vinderseminar, Sorø, 27.02.23

Korteste veje

*Fra Kastrup til Los Angeles  
og så videre*



# Korteste veje



Mercator-projektionen

# Korteste veje



Mercator-projektionen

Korteste veje

Korteste veje

Korteste veje

Korteste veje

# Korteste veje



Mercator-projektionen

# Geometri og Topologi

*Gauss-Bonnet's sætning*

# Gauss og Bonnet



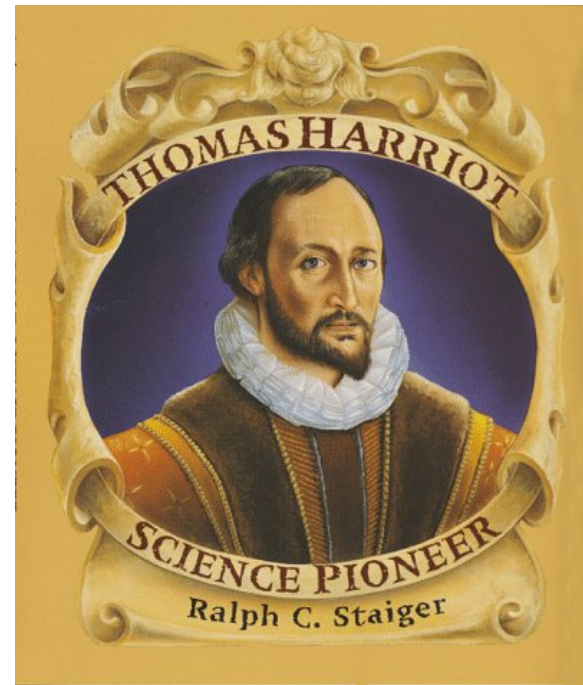
C. F. Gauss (1777 - 1855) og P. O. Bonnet (1819 - 1892)

# Gauss-Bonnet's sætning

**Sætning 1.**

$$\int_S K d\mu = 2 \cdot \pi \cdot (F - E + V) \quad .$$

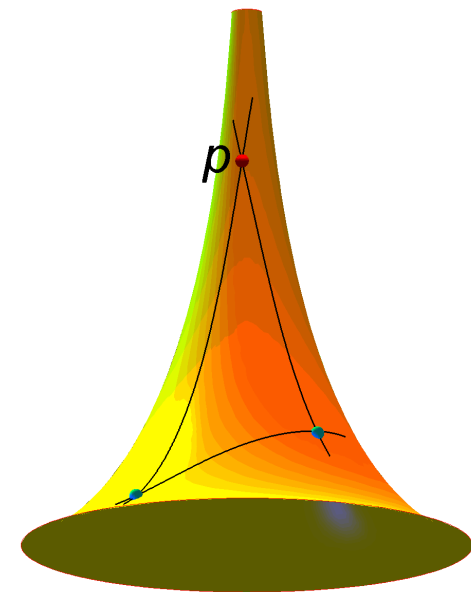
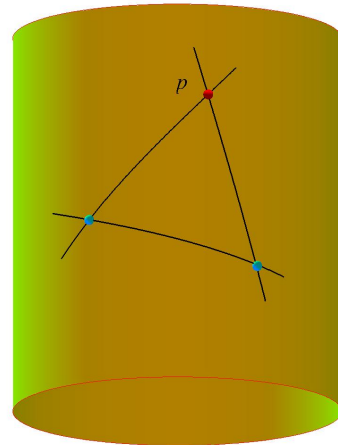
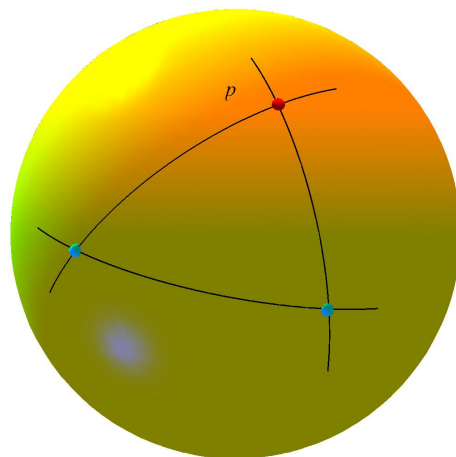
# Thomas Harriot



T. Harriot (1560 - 1621)

# Thomas Harriot

Fortællingen begynder med geodætiske trekantter på krumme flader. Fede, almindelige og tynde:



## Thomas Harriot

**Definition 2.** Krumningen af en flade  $S$  i et punkt  $m$  defineres som en grænseværdi:

$$K(m) = \lim_{\Delta \rightarrow m} \left( \frac{\alpha_1 + \alpha_2 + \alpha_3 - \pi}{\text{Areal}(\Delta)} \right) \quad ,$$

hvor  $\alpha_i$ ,  $i = 1, 2, 3$ , er vinklerne i  $\Delta$ .

# Thomas Harriot

Thomas Harriot viste, at krumningen af en kugleflade med radius 1 er  $K = 1$  overalt.

**Sætning 3.** *Lad  $\Delta$  betegne en vilkårlig geodætisk trekant på en kugleflade med radius 1. Dvs. de tre kanter i  $\Delta$  er segmenter af storcirkler på kuglefladen. Så er*

$$\text{Areal}(\Delta) = \alpha_1 + \alpha_2 + \alpha_3 - \pi \quad ,$$

sådan at netop

$$\frac{\alpha_1 + \alpha_2 + \alpha_3 - \pi}{\text{Areal}(\Delta)} = 1$$

allerede før vi laver nogen grænseværdi for  $K$ .

## Thomas Harriot

Harriot's bevis er ret snedigt. Han deler først kuglefladen i to dele med samme areal  $A = 2\pi$ :

# Thomas Harriot

Harriot's bevis er ret snedigt. Han deler først kuglefladen i to dele med samme areal  $A = 2\pi$ :

# Thomas Harriot

Den forreste halvdel af kuglefladen deles i tre:

# Thomas Harriot

Den forreste halvdel af kuglefladen deles i tre:

# Thomas Harriot

De tre 'sejl'  $D_i$  har hver et areal, der er proportional med deres respektive topvinkler:

$$\text{Areal}(D_i) = 2 \cdot \alpha_i .$$

(Hvis  $\alpha_i = 2 \cdot \pi$ , så ville netop  $\text{Areal}(D_i) = 4 \cdot \pi.$ )

# Thomas Harriot

Den forreste halvdel af kuglefladen delt i de tre sejl:

# Thomas Harriot

Harriot sætter sejlene sammen igen og korrigerer for det tredobbelte overlap af trekanten  $\Delta$ :

$$A = 2 \cdot \pi = 2 \cdot (\alpha_1 + \alpha_2 + \alpha_3) - 2 \cdot \text{Areal}(\Delta) \quad .$$

# Thomas Harriot

Harriot sætter sejlene sammen igen og korrigerer for det tredobbelte overlap af trekanten  $\Delta$ :

$$A = 2 \cdot \pi = 2 \cdot (\alpha_1 + \alpha_2 + \alpha_3) - 2 \cdot \text{Areal}(\Delta) \quad ,$$

# Thomas Harriot

Og heraf fås resultatet ved isolering af  $\text{Areal}(\Delta)$ :

$$2 \cdot \text{Areal}(\Delta) + 2 \cdot \pi = 2 \cdot (\alpha_1 + \alpha_2 + \alpha_3)$$

$$\text{Areal}(\Delta) + \pi = (\alpha_1 + \alpha_2 + \alpha_3)$$

$$\text{Areal}(\Delta) = \alpha_1 + \alpha_2 + \alpha_3 - \pi$$

$$\frac{\alpha_1 + \alpha_2 + \alpha_3 - \pi}{\text{Areal}(\Delta)} = 1$$

# Thomas Harriot

Check Harriot's formel for en geodætisk trekant, som har toppunkt og vinkel  $\pi/2$  i Nordpolen og som har de to andre hjørner på ækvator.

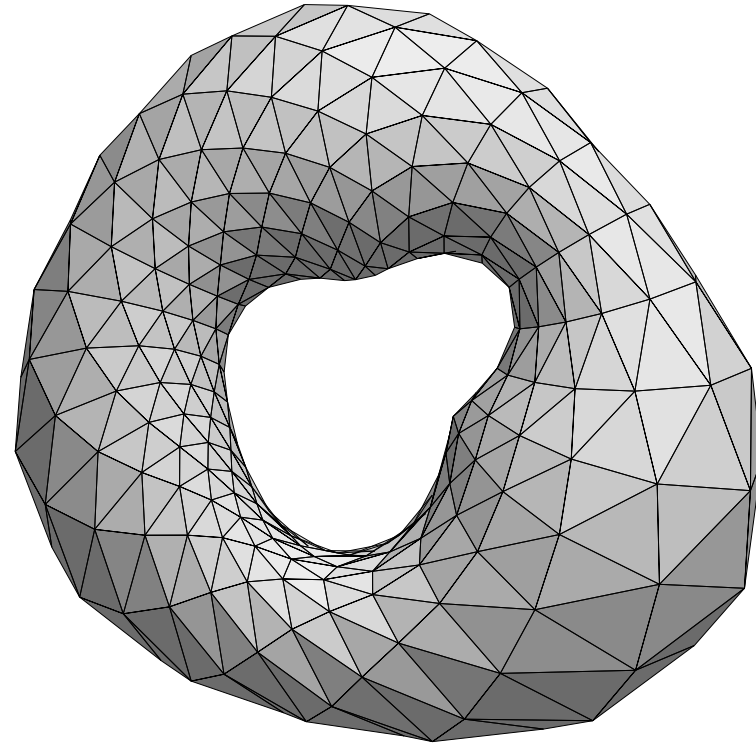
**Korollar 4.** *En kugleflade med radius 1 har konstant krumning 1 .*

**Korollar 5.** *En kugleflade med radius  $R$  har konstant krumning  $1/R^2$  .*

**Korollar 6.** *Krumningen af en flade er invariant under enhver isometri af fladen. (Isometrier bevarer nemlig (pr. definition) både vinkler og arealer.)*

**Korollar 7.** *Krumningen af en plan er 0, så krumningen af en cylinder er derfor også 0.*

# Triangulering af en flade



Her er  $F$  trekant-flader,  $E$  kanter, og  $V$  hjørnepunkter.

# Triangulering af en flade

Vi antager, at alle trekantene er geodætiske, altså med kanter, som er geodætiske kurver på fladen.

Så ved vi fra Harriot's sætning, at

$$\begin{aligned} \sum_{f=1}^{F} K \cdot \text{Areal}(\Delta_f) &= \sum_{f=1}^{F} (\alpha_1^f + \alpha_2^f + \alpha_3^f - \pi) \\ &= \sum_{f=1}^{F} (\alpha_1^f + \alpha_2^f + \alpha_3^f) - F \cdot \pi. \end{aligned}$$

# Triangulering af en flade

Men i ethvert hjørnepunkt er summen af vinklerne omkring hjørnet  $2 \cdot \pi$ , så

$$\sum_{f=1}^{f=F} (\alpha_1^f + \alpha_2^f + \alpha_3^f) = 2\pi \cdot V \quad ,$$

$$\sum_{f=1}^{f=F} K \cdot \text{Areal}(\Delta_f) = 2\pi \cdot V - F \cdot \pi \quad .$$

# Triangulering af en flade

Derudover har vi, at

$$2 \cdot E = 3 \cdot F$$

så

$$-2 \cdot E = -3 \cdot F$$

og

$$-F = 2 \cdot F - 3 \cdot F = 2 \cdot F - 2 \cdot E$$

hvoraf

$$\sum_{f=1}^{f=F} K \cdot \text{Areal}(\Delta_f) = 2\pi(F - E + V) \quad .$$

# Gauss-Bonnet's sætning

Når trekantene underopdeles (nødvendigt for at  $K$  er veldefineret i grænsen) fås sætningen:

$$\int_S K dA = 2 \cdot \pi \cdot (F - E + V)$$

med *de samme værdier* for  $F$ ,  $E$  og  $V$  som før, fordi underopdelingerne ikke ændrer højresiden!

**Korollar 8.** *Den vægtede alternerende sum  $2 \cdot \pi \cdot (F - E + V)$  for en hvilken som helst triangulering af fladen  $S$  er en topologisk invariant, og det er totalkrumningen  $\int_S K dA$  derfor også.*

# Gauss-Bonnet's sætning

Vedrørende påstanden om underopdelingen: En standard forfining giver:

$$\begin{aligned} F^* &= 6 \cdot F \\ E^* &= 2 \cdot E + 6 \cdot F \\ V^* &= V + E + F \quad , \end{aligned} \tag{1}$$

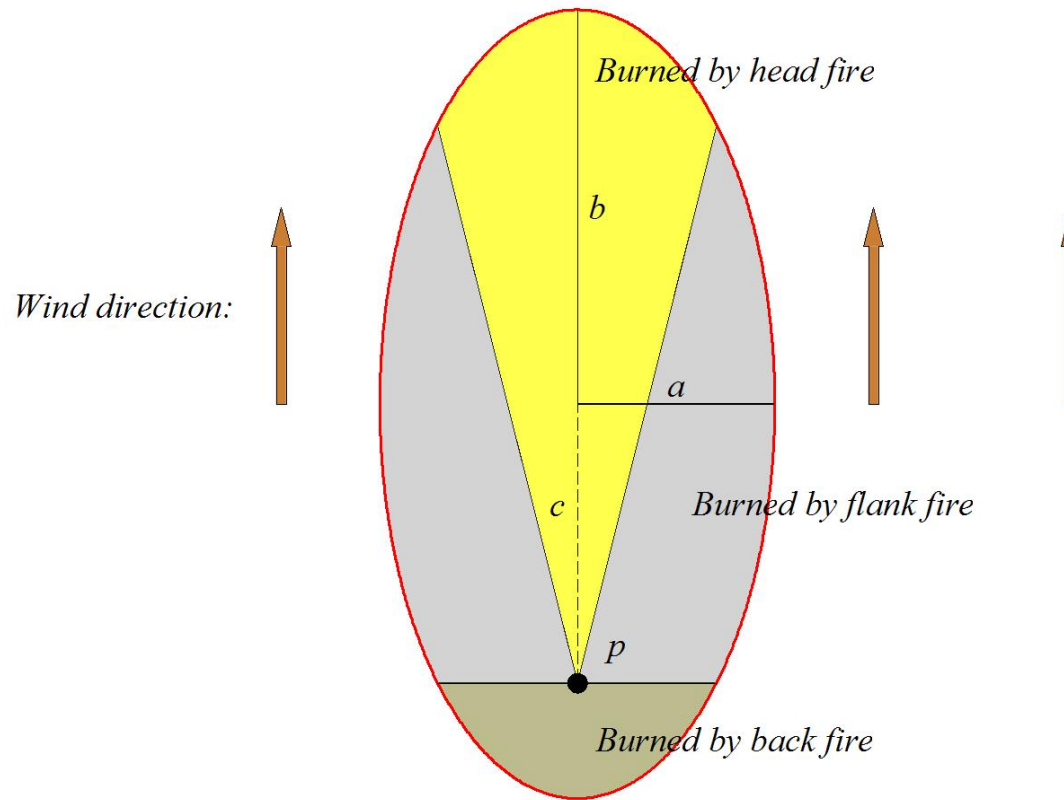
sådan at

$$\begin{aligned} F^* - E^* + V^* &= 6 \cdot F - 2 \cdot E - 6 \cdot F + V + E + F \\ &= F - E + V \quad . \end{aligned} \tag{2}$$

Real world analysis

*Wildfire modelling*

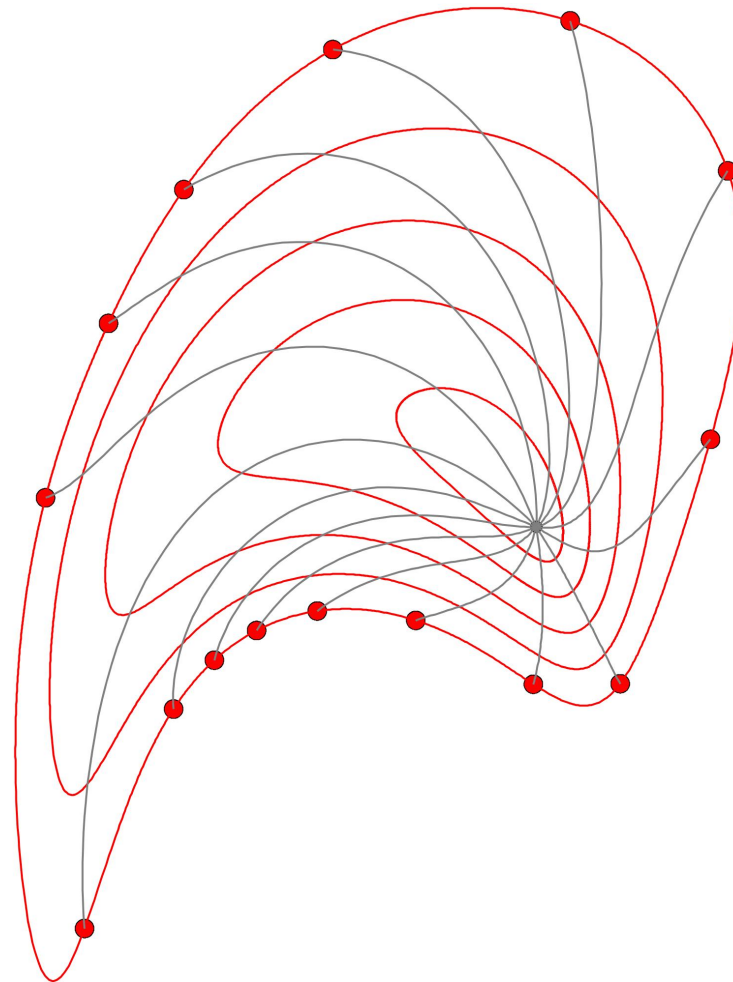
# Firefighter's ellipse



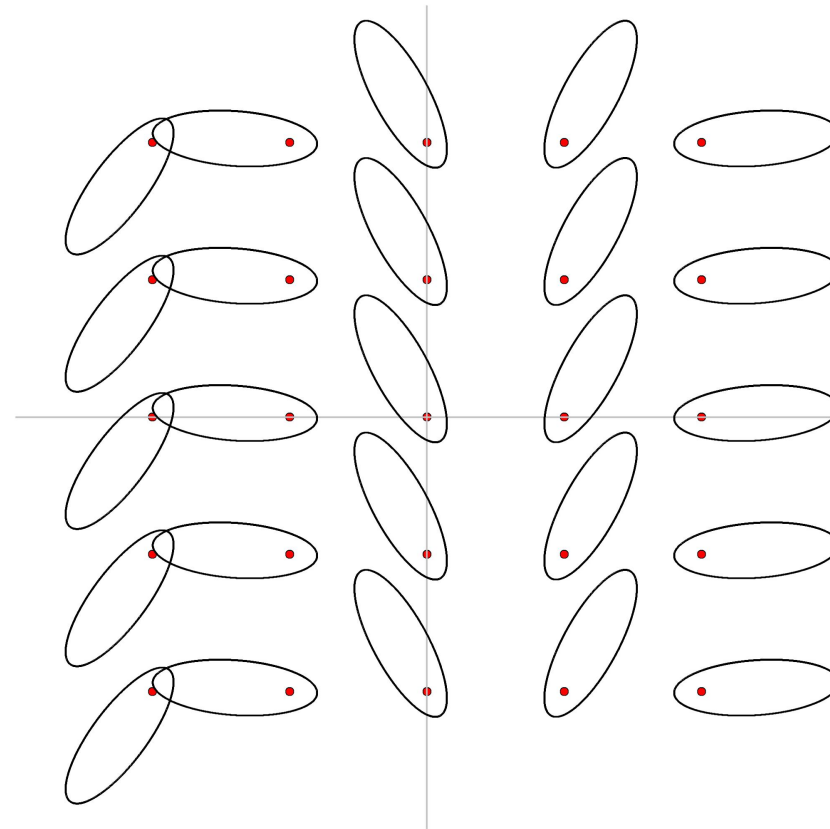
# Motivation



# Finsler geodesic circle frontals?



Yes, from an indicatrix field



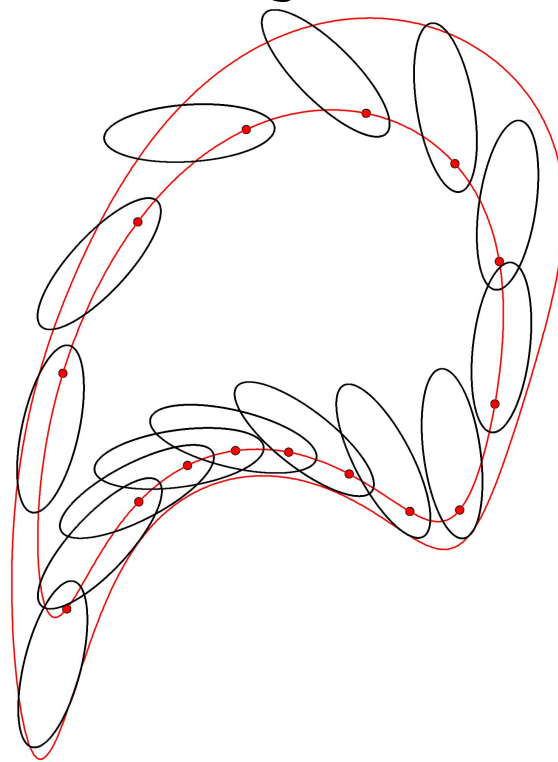
## Huygens' principle

We ignite the fire at a given point and integrate the indicatrix data along each front to **envelope the next front via Huyghens' principle**:

A later front is obtained by **igniting a fire at each point** on the given front, let them burn for a small time, and then **take the outer envelope** of the ensuing fire domains.

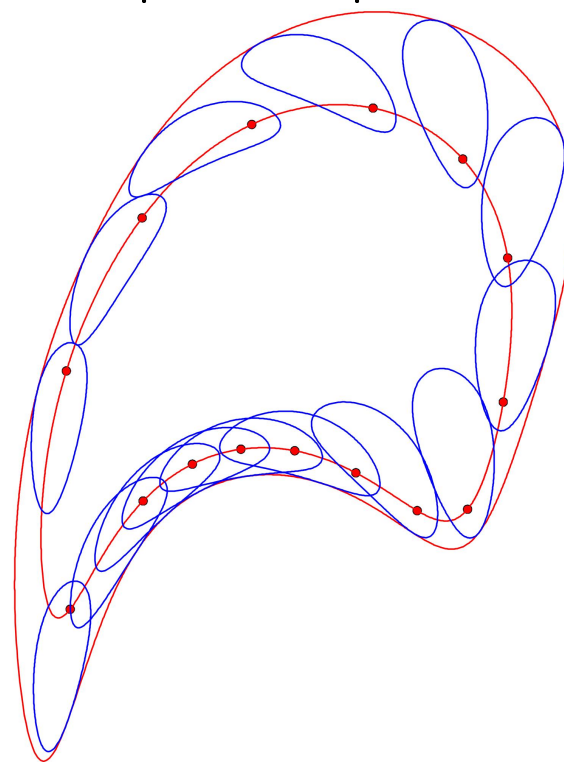
## Huyghens' principle

The indicatrices cannot be used for this directly, since they are objects in the tangent bundle:

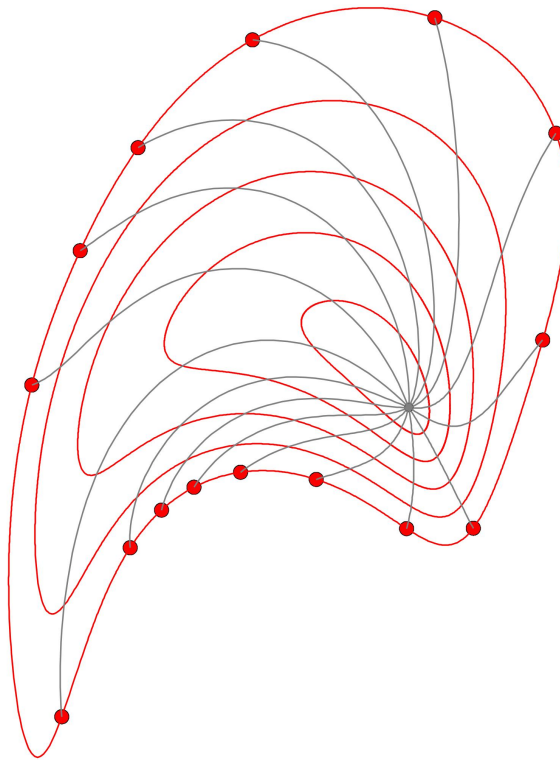


# Huyghens' principle

The local indicatrix field must itself be geodesically integrated from the respective points of ignition:



# Finsler geodesic circle frontals!



When the background Finsler metric is itself time-dependent:  
See M. A. Javaloyes, E. Pendás-Recondo, and M. Sanchez:  
*A general model for wildfire propagation with wind and slope*,  
(2021)

First experiments;  
Indicating cut loci; No wind

First experiments;  
Indicating cut loci; No wind

First experiments;  
Showing cut loci; No wind

First experiments;  
Showing cut loci; No wind

First experiments;  
Indicating cut loci; No wind

First experiments;  
Showing cut loci; No wind

First experiments;  
Showing cut loci; No wind

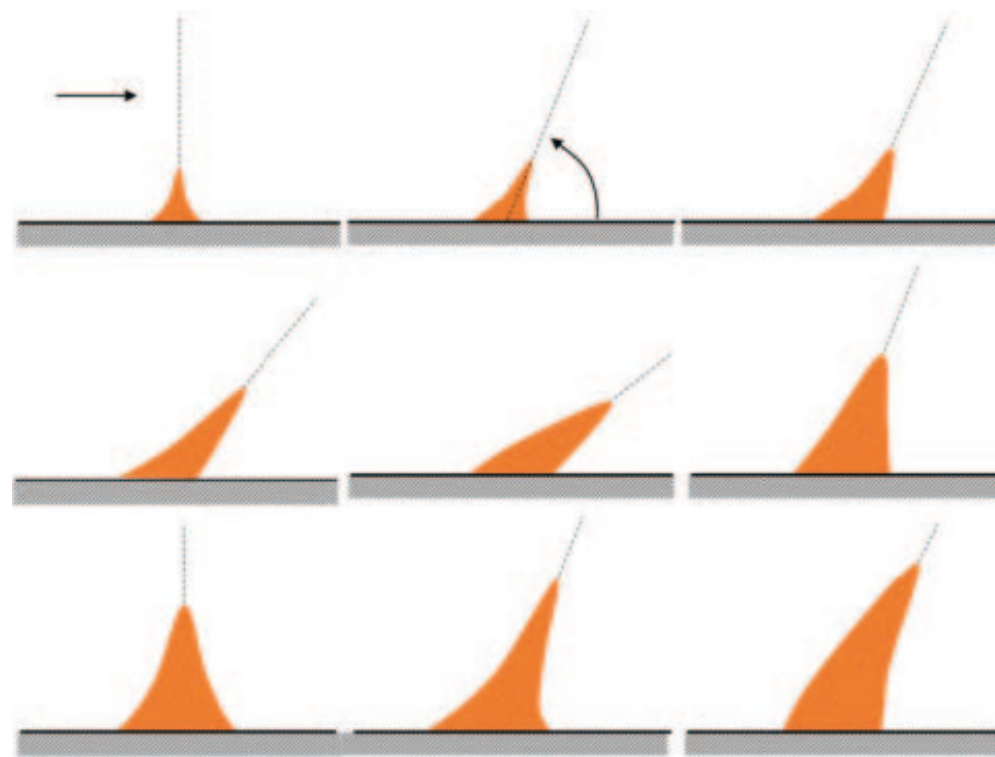
First experiments;  
Showing cut locus; No wind

First experiments;  
Showing cut locus; No wind

First experiments;  
Showing cut locus; With wind

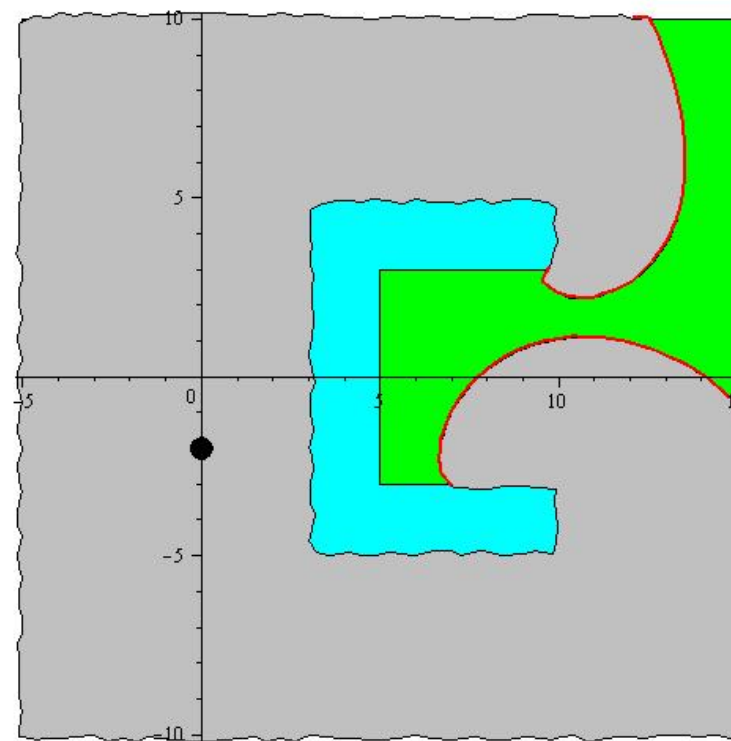
First experiments;  
Showing cut locus; With wind

# How to cope with oscillating frontals?



Domingos Xavier et al., 2021

# How to cope with physically interacting frontals before the formation of cut loci?



# Finsler geometri

Joint with Enrique Pendás-Recondo:

*Snell's law revisited and generalized via Finsler geometry,*

International Journal of Geometric Methods in Modern Physics, 2023:







Tak for opmærksomheden!